

УДК 537.533.3

Об одном классе электростатических полей с пространственно-временной фокусировкой. Галль Л.Н., Печалина Е.Э., Голиков Д.К. // Научное приборостроение. Электронно-ионная оптика. Л.: Наука, 1989, с. 3-7.

Определен класс электростатических полей, в которых осуществляется идеальная пространственно-временная фокусировка в направлении разделения ионов по времени пролета. Лит. - 3 назв., ил. - 2.

I. ТЕОРЕТИЧЕСКИЕ И МЕТОДИЧЕСКИЕ ПРОБЛЕМЫ НАУЧНОГО ПРИБОРОСТРОЕНИЯ

Л.Н.Галль, Е.Э.Печалина (НТО АН СССР), Ю.К.Голиков (ЛШИ)

ОБ ОДНОМ КЛАССЕ ЭЛЕКТРОСТАТИЧЕСКИХ ПОЛЕЙ С ПРОСТРАНСТВЕННО-ВРЕМЕННОЙ ФОКУСИРОВКОЙ

За последние годы в связи с развитием импульсных методов ионизации вырос интерес к времепролетным масс-спектрометрам (ВПМС), позволяющим получить полный спектр масс для каждого события ионизации. Однако, как и прежде, основными факторами, ограничивающими широкое применение ВПМС, являются сравнительно низкие значения разрешающей способности и чувствительности.

Основной вклад в "размытие" ионного пакета при прохождении аналитической части прибора вносят пространственный и энергетический разброс ионов в начальный момент времени.

Наиболее удачными на сегодняшний день с точки зрения компенсации влияния энергетического разброса ионов на разрешающую способность являются приборы типа масс-рефлектрон, в которых роль компенсирующего элемента выполняет плоское электростатическое зеркало [1].

Задача дальнейшего повышения разрешающей способности ВПМС наиболее конструктивно может быть решена за счет использования электростатических полей, обеспечивающих более сильную пространственно-временную фокусировку ионного пакета, и в том числе таких, время пролета в которых не зависит от начальных условий движения ионов.

Какова же структура полей, обладающих свойством независимости времени пролета от начальных параметров движения?

Легко обнаружить, что в случае прямолинейного движения этим уникальным свойством обладает линейный осциллятор, потенциал которого имеет вид

$$U = \frac{K}{2} z^2, \quad (1)$$

где K – коэффициент восстановления.

Движение частицы с массой m в этом случае носит колебательный характер и описывается уравнением

$$z(t) = z_0 \cos \omega t + \frac{\dot{z}_0}{\omega} \sin \omega t, \quad (2)$$

где z_0 , \dot{z}_0 – соответственно положение и скорость частицы в начальный момент времени;

$$\omega = \sqrt{\frac{K}{m}} \quad \text{– частота колебаний частицы.}$$

Из уравнения (2) непосредственно следует, что период колебаний T , определяемый как $T = 2\pi\sqrt{\frac{m}{K}}$, является функцией массы частицы и K , являющегося характеристикой осциллятора, и не зависит от z_0 , \dot{z}_0 .

Возвращаясь к рассмотрению движения заряженных частиц в электростатических полях, определим структуры полей, движение в которых вдоль заданного направления,

например, вдоль оси OZ , подобно линейному осциллятору.

Для организации такого движения естественно потребовать, чтобы потенциал электростатического поля Φ_Z вдоль оси OZ был аналогичен потенциалу линейного осциллятора (1) и, следовательно, имел вид

$$\Phi_Z = \frac{K}{2} z^2 = \Phi_0 \alpha \left(\frac{z}{\ell}\right)^2, \quad (3)$$

где α — некоторая безразмерная константа; Φ_0 и ℓ — характерный потенциал поля и характерный линейный размер поля соответственно (размерные величины).

Потенциал в пространстве X, Y, Z с учетом равенства (3) должен иметь вид

$$\Phi(X, Y, Z) = \Phi_0 \left(\alpha \left(\frac{z}{\ell}\right)^2 + P \left(\frac{X}{\ell}, \frac{Y}{\ell}\right) \right). \quad (4)$$

В силу того, что потенциал $\Phi(X, Y, Z)$ должен быть гармоничным, функция $P \left(\frac{X}{\ell}, \frac{Y}{\ell}\right)$ должна удовлетворять уравнению Пуассона вида

$$4P \left(\frac{X}{\ell}, \frac{Y}{\ell}\right) = -2\alpha. \quad (5)$$

Движение частиц в полях с потенциалом (4) вдоль оси OZ носит колебательный характер и происходит согласно уравнению (2) с частотой колебаний $\omega = \ell \sqrt{\frac{2q\Phi_0\alpha}{m}}$ и периодом

$$T_k = 2\pi \ell \sqrt{\frac{m}{2q\Phi_0\alpha}}.$$

Таким образом, все частицы, вылетевшие из плоскости $Z = -z_0$ в виде бесконечно тонкого пакета, собираются в плоскости $Z = z_0$ в моменты времени $t_{1n} = \frac{2n+1}{2} T$ и в плоскости $Z = -z_0$ в моменты времени $t_{2n} = nT$ ($n = 0, \infty$). Следует подчеркнуть, что период колебаний (5) и, следовательно, время пролета частицы t_{1n} и t_{2n} до плоскостей $Z = -z_0$, $Z = z_0$, не зависит от начальных условий движения (положения и скорости) и является лишь функциями параметров поля (характерных значений потенциала Φ_0 и линейного размера ℓ) и параметров самой заряженной частицы (массы и заряда). Таким образом, вдоль направления дисперсии по времени пролета (вдоль оси OZ) осуществляется идеальная пространственно-временная фокусировка.

Движение вдоль плоскости XY целиком определяется видом функции $p(x, y)$ в (4), которую можно рассматривать как сумму функций

$$\rho(x, y) = \rho_1(x, y) + \rho_2(x, y), \quad (6)$$

полагая, что функции ρ_1 и ρ_2 удовлетворяют условиям

$$\begin{aligned} \Delta \rho_1 &= -2\alpha, \\ \Delta \rho_2 &= 0. \end{aligned} \quad (7)$$

Здесь и далее $x = X/\ell$; $y = Y/\ell$; $z = Z/\ell$.

В декартовой системе координат функцию ρ_1 удобно взять в виде

$$\rho_1 = bx^2 + cy^2,$$

при этом параметры b и c в силу условий (7) удовлетворяют равенству

$$b + c = -\alpha.$$

Функция ρ_2 в равенстве (6) является произвольной двухмерной гармонической функцией.

Класс функций ρ_2 , удовлетворяющих условию (3), достаточно широк. Богат возможностями уже самый простой случай, когда $\rho_2(x, y) \equiv 0$. В этом случае потенциал имеет вид

$$\Phi(x, y, z) = \Phi_0 / (az^2 + bx^2 + cy^2),$$

$$a + b + c = 0,$$

и эквипотенциали поля представляют собой гиперболоиды. При этом возможны следующие варианты:

1. $C > 0$, тогда $b = -(\alpha + c) < 0$.

Ион колеблется с периодами $T_y = \frac{2\pi}{S\sqrt{C}}$ и $T_z = \frac{2\pi}{S\sqrt{\alpha}}$ вдоль осей Oy и Oz соответственно.

Здесь

$$S = \ell^{-1} \sqrt{\frac{2q\Phi_0}{m}}.$$

Периоды T_y и T_z равны, если $a = c$ ($b = -2\alpha$). В этом случае поле является осесимметричным с распределением потенциала $\Phi(x, y, z) = \Phi_0 a / (r^2 - 2x^2)$; $r^2 = x^2 + y^2$, и эквипотенциали поля представляют собой гиперболоиды вращения. Легко заметить, что при этих условиях в плоскости достигается идеальная пространственно-временная фокусировка точки в точку без дисперсии по энергии. Такой вариант фокусировки применительно к энергоанализу изучался в работе [2].

2. $C < 0$.

Характер движения совсем иной. Колебания иона происходят лишь вдоль оси OZ . При этом возможен вариант осевой симметрии поля (при $b = c = -\frac{1}{2}a$), потенциал которого имеет вид

$$\Phi(x, y, z) = \Phi_0 a \left(z^2 - \frac{r^2}{2} \right).$$

Многообразие полей можно существенно расширить, если $\rho_2 \neq 0$. При этом вид функции $\rho_2(x, y)$ полностью определяет характер движения в плоскости xy и свойства пространственно-временной фокусировки в ней.

Интересным с точки зрения реализации является вариант осесимметричного поля так называемого квазиконического типа [3], для которого $\rho_2(x, y) = K \ln r$ и потенциал имеет вид

$$\Phi(x, y, z) = \Phi_0 \left(az^2 - \frac{ar^2}{2} + K \ln r + \text{const} \right). \quad (8)$$

Эквиденсии поля (8) приведены на рис.1 при значениях $K = a = 1$, $\text{const} = \frac{3}{2}$ в плоскости zr .

Эквиденсииальные поверхности представляют собой поверхности вращения с плоскостью симметрии $z = 0$. Поле делится эквиденсияльными поверхностями, проходящими через точку $z = 0$, $r = 1$ на четыре характерные по конфигурации области, из которых наиболее компактной и удобной для дальнейшей реализации является область I. В этой области, непосредственно примыкающей к оси вращения Oz , эквиденсии представляют собой квазиконусы, соединенные у основания в плоскости симметрии $z = 0$.

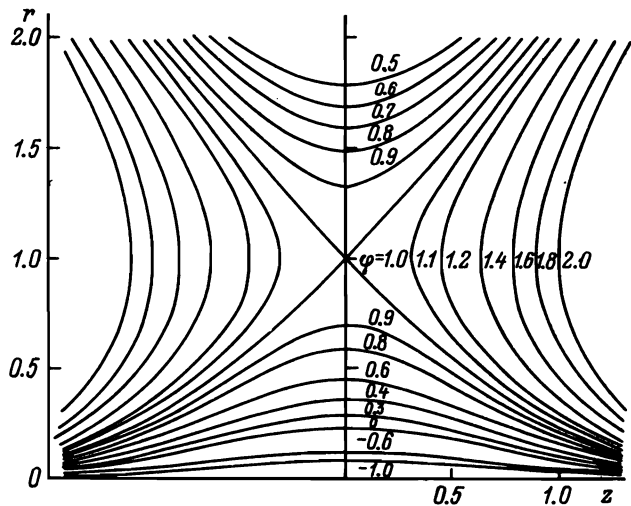


Рис.1. Форма эквиденсий поля
 $\Phi(z, r) = z^2 - \frac{r^2}{2} + \ln r + \frac{3}{2}$

Следует отметить, что форма эквиденсийальных поверхностей существенно зависит от отношения параметров K и a . Так, при увеличении отношения K/a эквиденсии в области I "выпрямляются", образуя цилиндрические поверхности со слабой деформацией, постепенно приближаясь к геометрии поля заряженной нити. Аналогичная ситуация возникает и при переходе к рассмотрению эквиденсий с более низкими значениями уровней, т.е. при рассмотрении эквиденсий, находящихся ближе к оси Oz .

При уменьшении отношения K/a эквипотенциальные поверхности в области 1 по форме приближаются к гиперболоидам.

Вопрос о реализации поля с распределением потенциала (3) может быть решен за счет создания электродов по форме эквипотенциалей поля заданных уровней C_1 и C_2 :

$$\alpha x^2 + p(x, y) = C_{1,2}. \quad (9)$$

Принцип работы такого масс-спектрометра описан в работе [3].

Примерная схема ВПМС, в аналитической части которого реализуется поле (8) и, следовательно, имеет место колебательное движение вдоль оси вращения поля oz , изображена на рис.2. Масс-спектрометр содержит импульсный источник ионов 1, электростатический анализатор, представляющий собой пару электродов 2 и 3; детектор ионов 4; входную и выходную щели в анализаторе 5 и 6. Электроды представляют собой поверхности вращения и описываются уравнениями (9) при $p = \frac{\alpha r^2}{2} + K \ln r + \text{const}$. Детектор и источник ионов расположены симметрично относительно плоскости $z=0$.

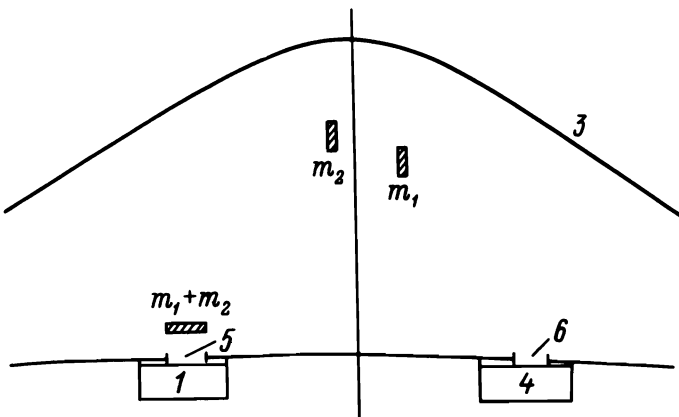


Рис.2. Схема времяпролетного масс-спектрометра

Масс-спектрометр работает следующим образом. Анализируемое вещество ионизуется в источнике ионов и импульсно вводится в аналитическую часть между электродами 2 и 3 через входную щель 5. При прохождении аналитической части первоначальный пакет ионов ($m_1 + m_2$) разделяется на пакеты m_1 и m_2 , соответствующие массовым числам ионов, участвующих в движении, которые, пройдя выходную щель 6, регистрируются детектором ионов в зависимости от массы через интервалы времени $t(m) = \pi L \sqrt{\frac{m}{2q\Phi a}}$.

Таким образом, определен класс электростатических полей, в которых осуществляется идеальная пространственно-временная фокусировка в направлении разделения ионов по времени пролета. При этом время пролета не зависит от начальных параметров движения частицы и является функцией параметров выбранного поля. Такими свойствами обладают поля с распределением потенциала (3). Среди этих полей существуют поля, легко реализуемые на практике.

ЛИТЕРАТУРА

1. Мамырин Б.А. и др.//ЖЭТФ. 1979.-Т.76, № 5.-С. 1500-1505.
2. Корсунский М.И.//ЖЭТФ. 1946.-Т.16, № 1.- С. 81-85.
3. А.с. 1247973 СССР. Времяпролетный масс-спектрометр/Галль Л.Н. и др.- Заявл. 16.01.85, № 3840525/24-21. Эпубл. в Б.И., 1986, № 28.